

Werk

Label: Table of literature references

Jahr: 1937

PURL: https://resolver.sub.uni-goettingen.de/purl?251726223_1937_0017|log11

Kontakt/Contact

[Digizeitschriften e.V.](#)
SUB Göttingen
Platz der Göttinger Sieben 1
37073 Göttingen

✉ info@digizeitschriften.de

Angeführte Schriften.

- ANGEL, F.: Die Quarzkeratophyre der Blaßeneck-Serie. — Jb. Geol. Reichsanst. **68**. Wien 1818.
- Gesteine der Steiermark. — Mitteil. Natw. Verein f. Steierm. Graz 1924.
 - Dolomitsandsteine des Grazer Paläozoikums. — Mitteil. Natw. Verein f. Steierm. **64/65**. S. 136—149. Graz 1929.
 - Stubachit und Stubachitserpentin vom Ganoz. — Z. Krist. **72**, 1930, S. 1—41. Leipzig 1930.
 - Über gabbroide Kerne aus dem Hochlantsch-Diabas. — Cbl. f. Min. etc. **1931**, A. S. 154—161. Stuttgart 1931.
 - Diabase und deren Abkömmlinge in den österr. Ostalpen. — Mitteil. Natw. Verein f. Steierm. **69**. S. 1—19. Graz 1932.
 - Gesteine der Umgebung von Leutschach und Arnfels. — Jb. Geol. Bundesanst. **83**. S. 5. — 18.
 - Mittelkärntner Diabase. — Carinthia, **123/124**. S. 14—16. Klagenfurt 1934.
 - & MARTINY, G., Die Serpentine der Gleinalpe. — Min. u. Petr. Mitteil. **38**. S. 353—375. Wien 1925.
- BERGERON, J.: Sur l'Hypérite d'Arviu (Aveyron). — C. R. Acad. Paris, **105**, S. 247. Paris 1887.
- Note sur les roches éruptives de la Montagne Noire. — Bull. Soc. géol. **3**, **17**, S. 54. Paris 1889.
 - Étude géologique du massif ancien situé au Sud du Plateau Central. — Ann. Sciences Géologie, **22**, S. 1—358. 55 Abb., 9 Taf., 1 Karte. Paris 1889.
 - Observations relatives à l'origine de la serpentine. — Bull. Soc. géol. **3**, **19**, S. 145. Paris 1891.
 - Montagne Noire, roches cristallines. — Bull. Serv. Carte géol. France, **6** (**38**), S. 61—64. Paris 1894.
 - Sur le métamorphisme du Cambrien de la Montagne Noire. — C. R. Acad. Sc., **121**, S. 911. Paris 1895.
 - Sur le métamorphisme des schistes cambriens de la Montagne Noire. — Bull. Soc. géol. France, **3**, **23**. C. R., S. 199. Paris 1895.
 - Remarques relatives à deux notes de M. Miquél. — Bull. Soc. géol. France, **3**, **23**, S. 337—343. Paris 1895.
 - Montagne Noire. Rapport sur la campagne de 1895. — Bull. Cart. géol. Serv. France, **8**, **53**, C. R., S. 95—100. Paris 1895—96.
 - Sur l'origine de la serpentine de série crystallophyllienne de l'Aveyron et du Gard. — C. R. Acad. Sc. **144**, S. 983. Paris 1907.

- BECKE, F.: Über Mineralbestand und Struktur der kristallinen Schiefer. — Denkschrift Akad. Wissensch. Wien. Math.-Natw. Kl. **75/I**. Wien 1913.
- Petrographische Studien am Tonalit der Rieserferner. — Min. u. Petr. Mitteil. **13**. S. 379—430 und 433—464. Wien 1892.
- DEMAX, A.: Sur les conditions de l'orogénèse et du métamorphisme hercynien dans la bordure méridionale du massif de Rodez. — C. R. Acad. Sc. **193**, S. 1098—1100. Paris 1931.
- Contribution à l'étude de la tectonique hercynienne antéstéphanienne dans les Cévennes méridionales et dans la Rouergue. — Bull. Soc. géol. France, **5**, **19**, S. 636—696. Paris 1931.
- DEREIMS, A.: Feuille d'Albi (Terraines primaires). — C. R. Coll. Bull. Serv. géol. France, **10** (**69**), S. 498—499 (30, 31). Paris 1899.
- DURAND, J.: Sur le granite de Laguépie (Tarn-et-Garonne). — C. R. Acad. Sc. **195**, S. 615—617. Paris 1932.
- & RAGUIN, E.: Sur le granite de la région du Pinet (Aveyron). — C. R. Acad. Sc. **195**, S. 580—582. Paris 1932.
- LAEMMLEIN, G.: Korrosion und Regeneration der Porphyrquarze. — Z. Krist. **75**, S. 109—127. Leipzig 1930.
- MENGAUD, L.: Révision de la feuille de Castres. Au 80 000^e. — Bull. Serv. Carte géol. France **34** (**179**) S. 114—122. 1 Abb. Paris 1930.
- MICHEL-LEVY, AL.: Granulite broyée et mylonites antéstéphaniennes au nord-est des Monts de l'Éspinouse. — C. R. Acad. Sc. **191**, S. 1353—1354. Paris 1930.
- Les formations au contact de gneiss et de granites dans le Sidobre, l'Éspinouse et le Mendic. — Bull. Soc. géol. France. C. R. **5**, **1**, S. 270—278. Paris 1931.
- Révision de la feuille de Bédarieux au 80 000^e (Terrains cristallophylliens et eruptifs). — C. R. Coll. Bull. Serv. Carte géol. France **36** (**187**), S. 147—149 (73, 75). Paris 1932.
- et DURAND, J.: Mylonites de Réquista (Aveyron). — Bull. Soc. géol. France **5**, **2**, S. 32—33. Paris 1932.
- NIGGLI, P.: Gesteins- und Mineralprovinzen. — Berlin 1923. S. 132 ff.
- PISANI, F.: Hypersthène de l'Hypérite de l'Aveyron. — C. R. Acad. Sc. **86**, S. 1419. Paris 1878.
- RAMIÈRE DE LA FORTANIER: Les variations laterales des calcaires de la Montagne Noire. — Bull. Soc. géol. France, **5**, **2**, C. R. S. 50—51. Paris 1932.
- SANDER, B.: Über Zusammenhänge zwischen Teilbewegung und Gefüge in Gesteinen. — Min. u. Petr. Mitteil. **30**. Wien 1911.
- Über tektonische Gesteinsfazies. — Verh. Geol. Reichs-Anst. Wien **1912**, Nr. 10 [1912 a].
- Über einige Gesteinsgruppen des Tauernwestendes. — Jb. Geol. Reichsanst., **62**. Wien 1912 [1912 b].
- Feinschichtung, Teilbewegung und Kristallisation im Feingefüge einiger Tiroler Schiefer. — Jb. Geol. Reichsanst., **64**. Wien 1914 [1914 a].
- Über Kristallisation und Faltung einiger Tiroler Schiefer. — Jb. Geol. Reichsanst., **64**. Wien 1914 [1914 b].
- Bemerkungen über tektonische Gesteinsfazies und Tektonik des Grundgebirges. — Verh. Geol. Reichsanst. **1914**. Wien 1914 [1914 c].
- Über einige Gesteinsgefüge. — Min. Petr. Mitteil. **33**. Wien 1915.

- SANDER, B.: Über das Gefüge einiger Gesteinsfalten. — Cbl. f. Min. 1926 B. S. 168 ff. Stuttgart 1926.
- Über Tektonite mit Gürtelgefüge. — Fennia 50, Nr. 14. Helsinki 1928.
 - mit FELKEL, E. und REITHOFER, O.: Zur tektonischen Analyse von Schmelztektoniten. — Sitzber. Heidelberger Akad. Math.-Natw. Kl. 1929. — 13. Abh. — Berlin-Leipzig 1929.
 - Gefügekunde der Gesteine. — Wien 1930.
 - Fortschritte der Gefügekunde der Gesteine: Anwendungen, Ergebnisse, Kritik. — Fortschr. d. Min., Krist. etc., 18. Berlin 1934 [1934 a].
 - Typisierung von deformierten Tonschiefern mit optischen und röntgenoptischen Mitteln. — Z. Krist. 89, S. 97 ff. 1934 [1934 b].
- SCHMIDT, W.: Zur Regelung zweiachsiger Mineralien in kristallinen Schiefen. — N. Jb. f. Min. etc. BB. 57, A. 1927. S. 203—222. Stuttgart 1927.
- Tektonik und Verformungslehre. — Berlin 1932.
- WINKLER-HERMADEN, A.: Das vortertiäre Grundgebirge im österreichischen Anteil des Poßruckgebirges. — Jb. Geol. Bundesanst., 83. S. 19—73. Wien 1933.

Erklärung zu Tafel 1.

1. Tektonische Skizze des Rouergue, der Montagne Noire und des Massives von Mouthoumet nebst einem schematischen Profil.

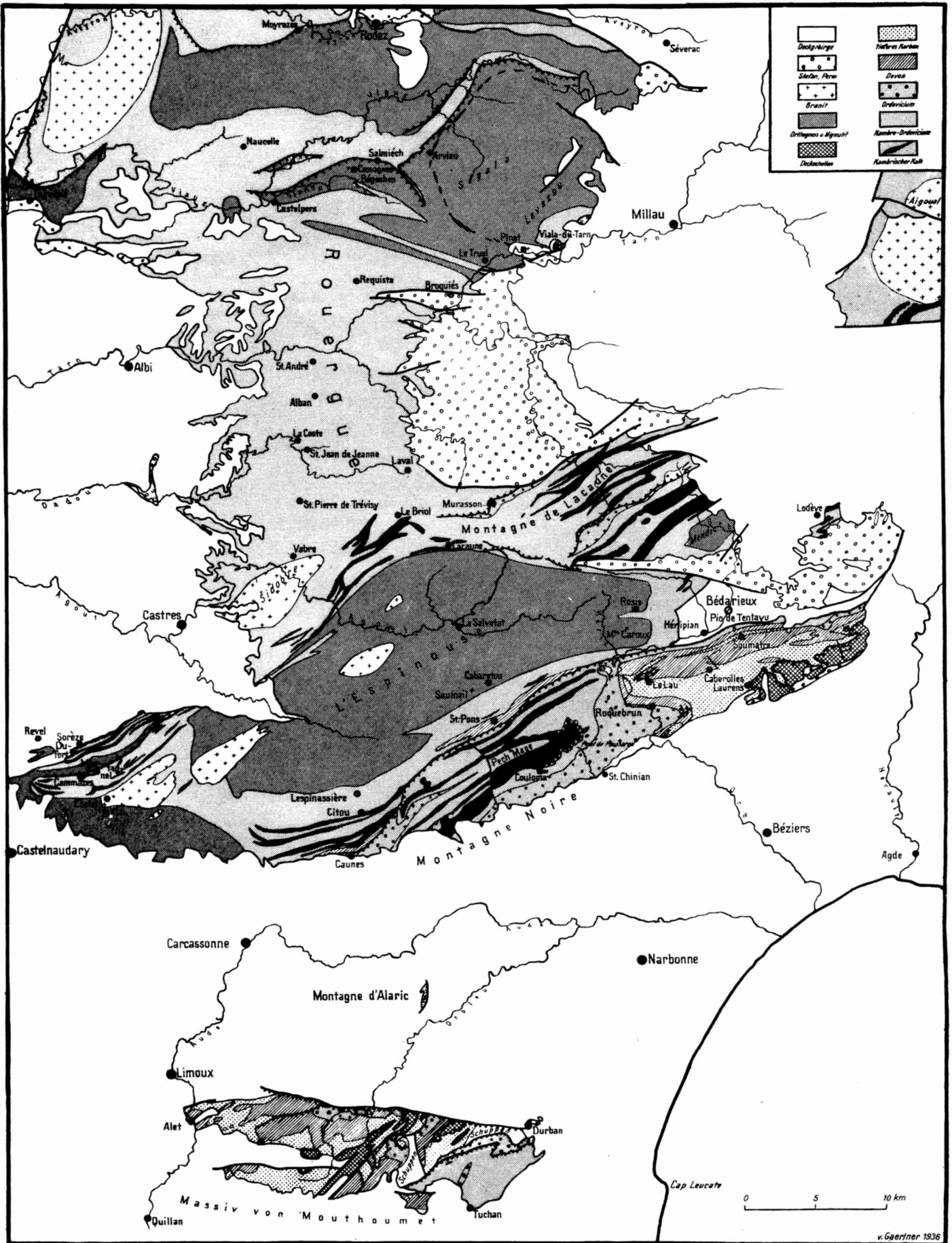
Die Karte dient hauptsächlich zur Erläuterung und geographischen Orientierung für die letzten Abschnitte des ersten Teiles dieser Arbeit. Die geologischen Grenzen sind nach den geologischen Karten 1:80 000 und zwar den Blättern Rodez, Séverac, Albi, St. Afrique, Castres, Bédarieux, Carcassonne, Quillan und Perpignan eingetragen. Im Norden sind sie in den entscheidenden Teilen von BERGERON, im Süden von BRESSON und DONCIEUX aufgenommen worden.

Für die Monts de Lacaune wurde die Karte von THORAL (1935 a), für Einzelheiten in der Darstellung des Rouergue die Arbeiten von DEMAY, DURAND und RAGUIN neben eigenen Beobachtungen benutzt. Auf letztere gründet sich auch vielfach die Linienführung in der Gegend von Cabrières und in dem Massiv von Mouthoumet.

Die Profildarstellung ist auf S. 89 ff. näher erläutert. Für die Faziesverhältnisse ist noch Abb. 17 zu vergleichen.

Die Karte zeigt im Norden die weiten Schiefergebiete des Rouergue; Kambrium und Ordovizium und bei Murasson auch etwas Gotland bilden die Gesteinsgrundlagen. In die Schiefer sind unter lebhafter Bildung von Migmatiten Orthogesteine eingedrungen, die jetzt kleine Massive bilden. Nördlich des Tarn sind sie an ihren Nordflanken von postkristallinen Überschiebungen begleitet. Südlich des Flusses ist die Tektonik südvergent.

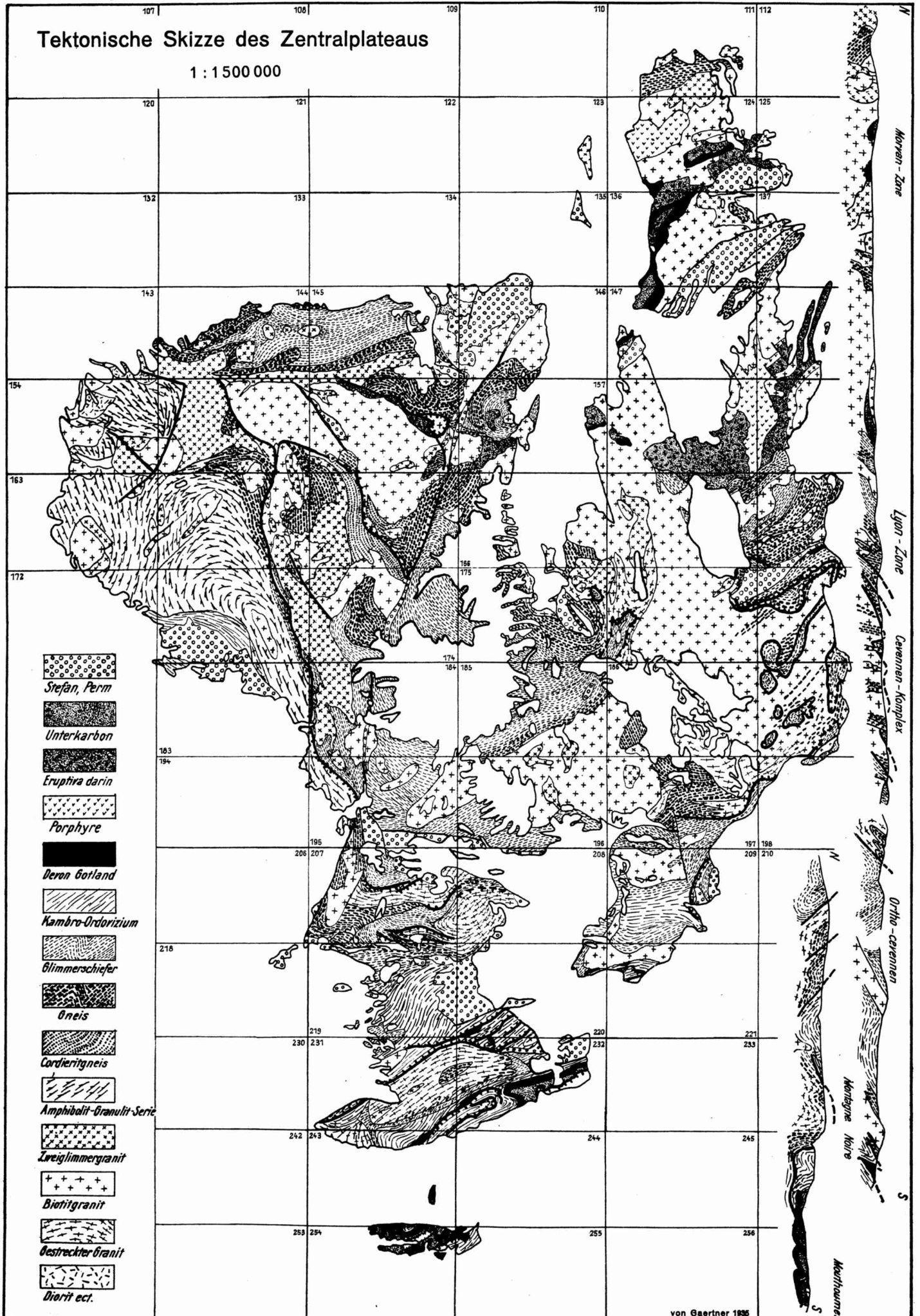
Im Faziesgegensatz zu diesem nördlichen Schiefergebiete stehen die Kalk- und Sandsteingebiete des Südens. Die zunehmende Beteiligung der Kalke am Aufbau des Kambriums ist angedeutet. Außerdem stellt sich ein höheres Faltenstockwerk mit Devon und Karbon ein, das vermutlich auch den Untergrund des Beckens von Carcassonne bildet und den Anschluß an die Ostpyrenäen herstellt.



Schematische Karte und Profil des Rouergue und der Montagne Noire.

Tektonische Skizze des Zentralplateaus

1 : 1 500 000



von Gaertner 1895

Tafel 2.

Tektōnische Skizze des französischen Zentralplateau.

Die Skizze ist das Ergebnis von Literaturstudien, die später zusammenfassend dargestellt werden sollen (vgl. S. 144 Anm. 44). Ihr liegt im wesentlichen die geologische Übersichtskarte von Frankreich im Maßstab 1:Million von DE LAUNAY (1905) zu Grunde. Die Abtrennung der weniger metamorphen Anteile folgt den Angaben der Literatur und den neueren Karten 1:80 000.

Das Profil erläutert die über den Aufbau des östlichen Teiles des Zentralplateaus entwickelten Ansichten.

Tafel 3.

Fig. 1. Blick von Salza im Massiv von Mouthoumet gegen Südosten.

Die höheren Berge links im Mittelgrund sind Kreide, deren Einheiten von links nach rechts, dem vorderen Bildrand parallel streichen. Die sie kappende Altfläche bricht an einer Verwerfung um 150 m gegen Westen (rechts) ab und setzt sich in der tieferen Altfläche des rechten Mittelgrundes fort. Sie kappt hier Paläozoikum, Kreide und Alttertiär. Im Hintergrunde rechts ragt der Pic de Bugarach über die Ebene auf, an dem die größeren Überschiebungen der Pyrenäen beginnen (vgl. S. 117).

Fig. 2. Ostvergente Falten und Überschiebungen an der Straße von Cascastel nach Albas.

Links (westlich) geschlossene Oberdevonkalke, unter welchen die Kieselschiefer des rechten Bildteiles überschoben und aufgefaltet sind (vgl. Abb. 21 S. 127).

Fig. 3. Westvergente Falten als Ausnahmeerscheinung in leicht beweglichen Gotlandschiefern und Kalken (vgl. S. 137) an der Straße von Mouthoumet nach Pont d'Orbieu.

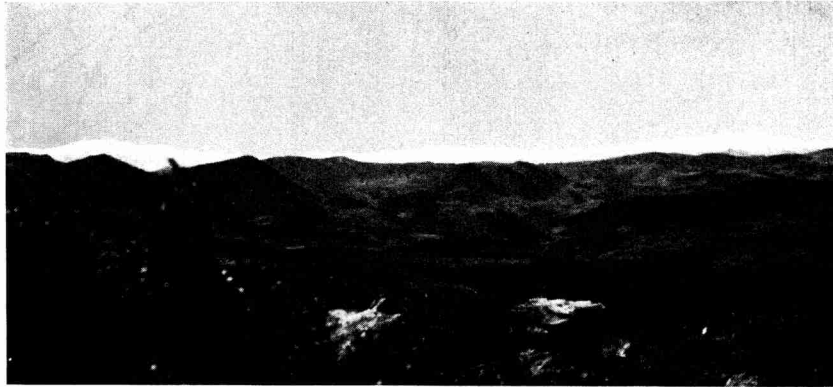


Fig. 1.

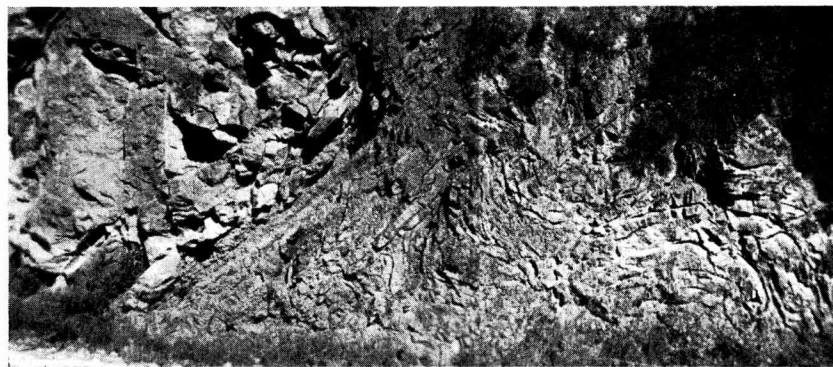


Fig. 2.



Fig. 3.

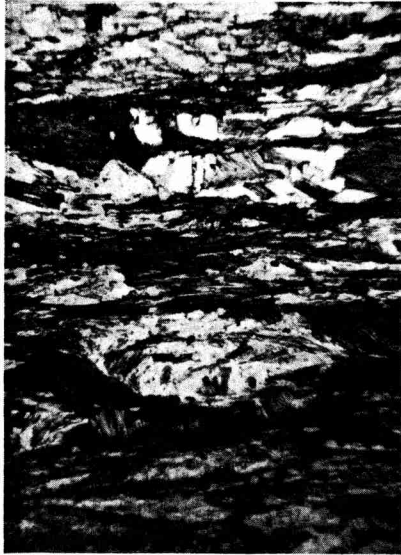


Fig. 1.



Fig. 2.



Fig. 3.



Fig. 4.

Tafel 4.

Fig. 1. Serizit-Chloritphyllit, S. von Héripien, zu Nr. 10 des Textes. S. 188.

Schnitt nach dem Querbruch. Horizontal verläuft das „s“. Man sieht die spitz zulaufenden Schenkel der Scherfältchen mit verdickten Faltenknien. Dunkel: Chlorit; etwas heller, an den Spaltrissen erkennbar, Querchlorite im oberen und unteren Bild-Drittel. In der Mitte, im Chloritgewebe, das gegen den rechten Rand verläuft: Quarzkörnerzeilen. Helle Stellen: Quarzkörnerpflaster. — Am unteren Bildrand: Serizitgewebe. Mittels Lupe ist die Querstellung kleiner kurzer Serizitlamellen in den Kernen von Scherfältchen sichtbar. (Polarisator allein vorgeschaltet.)

Fig. 2. Chloritreicher Serizitphyllit, Héripien-Faugères, zu Nr. 11 des Textes S. 189.

Schnitt nach dem Querbruch. Das „s“ ist vertikal gestellt. Scherfältchenbau in einem Falten-Außenscharnier. Dunkel: Chlorit. Das zweite schuppige Mineral ist Serizit, durch limonitische Anfärbung besser sichtbar. Am rechten Rand: Quarzpflastergewebe der Falte. In den Scherfältchen ist fiederartige Anordnung der blättrigen Komponenten sichtbar.

Fig. 3. Gewebepartie aus wolkig-migmatischem Granitgneis, Gneisrand S. von Cassagnes, Nr. 37 des Textes S. 209.

Man bemerkt ein aus Glimmern (dunkler abgebildetem Biotit und hellen Muskowiten) gebildetes „s“ von oben nach unten längs durch das Bild ziehen. Rechts ein großer, flauer Mikroklin. Das übrige Körnergewebe: Quarz und einige kleine Körnchen Plagioklas. Beachtenswert und kennzeichnend für solche Gesteine die unruhige Bildwirkung, welche durch die stark verschiedenen Korngrößen und ungleichmäßige Mengung hervorgerufen wird; ein ganz anderes Bild in reinem granitischen Gewebe. — (Nikols gekreuzt.)

Fig. 4. Gleichmäßig feinkörniger Paragneis von Le Cabaret, W. von Rosis. Nr. 74 des Textes S. 226.

Die Aufnahme stellt das typische Korngefüge dieser Gesteinsgruppe dar. Dunkel: Biotite. Hell mit punktförmigen Einschlüssen oder ganz klar: Quarze. — Hell, aber getrübt, z. B. in der Bildmitte: Plagioklas. — „s“ ist im Bild wieder horizontal gestellt. Polarisator allein vorgeschaltet. Man vergleiche die so ungemein scharf ausgeprägten Gewebunterschiede zwischen 1 und 2, 3, und Tafel 5 Fig. 4.

Tafel 5.

Fig. 1. Biotitumwachsener Penninporphyroblast. Aus den Penninporphyroblasten-Phyllit 108.

Man sieht links unten und rechts oben prächtig das belteropore Wachstum in das zarte Serizitgewebe, dessen Zerschierung ebenfalls aus dem Bild zu erkennen ist. Die hellen Innenpartien sind blaßgrünlicher Pennin, die dunkle Rinde ist Biotit, welcher im dunkelsten Farbton seines Farbwechsels unter Vorschaltung des Polarisators aufgenommen wurde (S. 241 ff.).

Fig. 2. Zusammengesetzter Penninporphyroblast, Schmetterlingsform.

Weißer, schräg durchgescherte Muskowite umschwärmen den Pennin-Schmetterling, der blaßgrün getönt ist, und beide Kristallarten sind eingebettet in ein sehr zartes, zerschertes Serizitgewebe. Die dunkelsten, bandartigen Streifen im Pennin sind Eisenhydroxydnachzeichnungen alter, vorpenninischer Seherflächen. Sie zeigen, daß das Gewebe vor Beginn der Penninsprossung in Sektoren mit divergenten Wegsamkeiten des Serizitgewebes geteilt war. Daher auch der belteropor bedingte Aufbau aus mehreren fächerartig aneinanderschließenden Penninen. Aus 109. — Beide Beispiele vom Gneissüdrand bei Cassagnes (S. 241 ff.).

Fig. 3. Aus dem Granatglimmerschiefer 120 des Textes (S. 248), Gneissüdrand bei Cassagnes.

Die rundliche dunkle Masse ist die aus feinschuppigem, düstergrünem Chlorit gebaute Granat-Pseudomorphose. Die hellen Flecken darin sind die Überreste eines alten, Wälzung abbildenden „si“ von Quarz in Granat. Dieser selbst ist nur in geringen, stark brechenden Resten (rechts unten z. B. in der Pseudomorphose) zu sehen. Mit der Wälzung stimmen überein die im Schwung angesetzten Pennin-Flügel, einer links unten, mit undurchsichtigem dicken Goethit in Gesellschaft, einer rechts oben angesetzt, gleichfalls mit dickem Goethit. Das ganze Gebilde, welches die Diaphthorose kennzeichnet, liegt in grobem Glimmergebälk. Man beachte die hochinteressanten Unterschiede im Gewebebau zwischen den Bildern Taf. 4 Fig. 1, 2, Taf. 5, 1 und 4 mit 3.

Fig. 4. Aus dem Biotitknotenschiefer mit Chiastolith-Pseudomorphosen, Nr. 135 des Textes, S. 253. — Sidobre.

Dunkel und grobblättrig: ein Biotitknoten, darin auch größere Muskowite. Heller, feiner und sprenkelig: das Grundgewebe mit seiner Biotitwirnis, kleinen Muskowiten und sehr spärlichen Quarzkörnchen. Typisches Hornfels-Schiefergewebe. Chiastolithe sind nicht abgebildet.

Alle 8 Bilder der Tafeln 4 und 5 Aufnahmen von KARL FISCHER-Graz, im Bogenlicht eines Projektionsapparates (10 Ampère) über den Mikroskopspiegel reflektiert; Obj. 3, Ok. 2 eines Reichert-Statives III, Polarisator eingeschaltet. Belichtungszeit 1 bis 1½ Sekunden, halber Tubusauszug der Aufsatzkamera. Material Perutz Peromnia-Filme. Kombinierte Entwicklung mit Glycin und Rodinal 1/20. — Negative normal. Vergrößerung einheitlich 65 linear.



Fig. 1.



Fig. 2.



Fig. 3.



Fig. 4.